

©1995 г.

## ГЕТЕРОПЕРЕХОДЫ II ТИПА GaInAsSb/InAs

*М.П.Михайлова, И.А.Андреев, Т.И.Воронина,  
Т.С.Лагунова, К.Д.Моисеев, Ю.П.Яковлев*

Физико-технический институт им. А.Ф.Иоффе Российской академии наук,  
194021, Санкт-Петербург, Россия  
(Получена 27 сентября 1994 г. Принята к печати 3 октября 1994 г.)

Впервые получены и изучены гетеропереходы на основе твердых растворов  $\text{Ga}_{1-x}\text{In}_x\text{As}_y\text{Sb}_{1-y}$  ( $x = 0.17$ ,  $y = 0.22$ ), изопериодных с подложкой InAs (100). Исследованы гальваномагнитные, электрические и фотоэлектрические свойства четырех типов гетероструктур  $N-n$ -,  $P-p$ -,  $P-n$ - и  $N-p$ -GaInAsSb/InAs, определены значения скачков потенциалов на гетерогранице  $\Delta E_c$ ,  $\Delta E_v$  и установлены приближенные зонные энергетические диаграммы этих гетеропереходов. Показано, что гетероструктура  $\text{Ga}_{0.83}\text{In}_{0.17}\text{As}_{0.22}\text{Sb}_{0.78}/\text{InAs}$  представляет собой разъединенный гетеропереход II типа. Впервые наблюдалась высокая подвижность электронов ( $\mu_n = 70000 \text{ см}^2/\text{В} \cdot \text{с}$  при  $T = 77 \text{ K}$ ) в канале в одиночном гетеропереходе GaInAsSb/InAs, полученном при выращивании нелегированного слоя четвертого твердого раствора на слабо легированной подложке  $p$ -InAs.

### Введение

Четверные твердые растворы  $\text{Ga}_{1-x}\text{In}_x\text{As}_y\text{Sb}_{1-y}$ , изопериодные с подложками GaSb и InAs давно привлекают внимание как материалы перспективные для создания оптоэлектронных приборов (лазеров и фотодетекторов) в спектральном диапазоне 2–5 мкм [1–4]. Этот диапазон весьма важен для лазерной диодной спектроскопии газов и молекул [5], экологического мониторинга, систем лазерной дальномерии [6], а также ИК волоконных линий связи на основе флюоридных стекол с низкими потерями.

До недавнего времени большое число работ было посвящено твердым растворам  $\text{Ga}_{1-x}\text{In}_x\text{As}_y\text{Sb}_{1-y}$ , выращенным на подложке GaSb. Отличительной особенностью таких твердых растворов является наличие большой области несмешиваемости для составов  $0.70 > x > 0.25$ , что дает возможность получать их методом жидкофазной эпитаксии (ЖФЭ) только в узком интервале составов либо вблизи GaSb ( $x < 0.25$ ) [1,2], либо вблизи InAs ( $0.7 < x < 1$ ) [7]. Как было показано нами ранее, такие материалы интересны также и тем, что они могут образовывать с GaSb гетеропереходы II типа как ступенчатые, так и разъединенные в зависимости от состава твердого раствора [8]. Основным свойством гетероперехода II типа является пространственное разделение

носителей заряда на гетерогранице и возможность образования самосогласованных квантовых ям, что приводит к необычным оптическим, электролюминесцентным и транспортным свойствам структур на их основе [2,8].

В значительно меньшей степени изучены свойства гетероструктур на основе твердых растворов GaInAsSb, изопериодных с подложкой InAs. Ранее имелось лишь несколько работ, где сообщалось о выращивании растворов  $\text{Ga}_{1-x}\text{In}_x\text{As}_y\text{Sb}_{1-y}$  методом ЖФЭ на подложках InAs с ориентацией (111) *B* и (100) [7,9,10]. Были получены эпитаксиальные слои  $\text{Ga}_{1-x}\text{In}_x\text{As}_y\text{Sb}_{1-y}$  в интервале составов  $0.1 < x < 0.2$  и  $0.83 < x < 1.0$ , исследованы рентгеноструктурные, морфологические и оптические свойства таких слоев [9,10].

Интерес к твердым растворам GaInAsSb, изопериодным с InAs, а также с твердыми растворами InAsSbP, обусловлен перспективой создания на их основе длинноволновых лазеров с хорошим электронным и оптическим ограничением, а также фотоприемников для спектрально-го диапазона 2.5–4.0 мкм. О создании на основе GaInAsSb/InAs первых лазерных структур на длину волны излучения  $\lambda = 2$  мкм сообщалось в [11]. Однако до настоящего времени не проводилось экспериментальных исследований характеристик гетеропереходов на основе GaInAsSb/InAs и их зонных энергетических диаграмм.

В данной работе представлены результаты исследования электрических и фотоэлектрических свойств гетероструктур GaInAsSb/InAs, полученных методом ЖФЭ, а также обсуждены зонные энергетические диаграммы гетеропереходов GaInAsSb/InAs.

## 1. Изготовление структур и методика эксперимента

Изопериодные структуры  $\text{Ga}_{1-x}\text{In}_x\text{As}_y\text{Sb}_{1-y}$  ( $x = 0.17$ ,  $y = 0.22$ ) *n*- и *p*-типов выращивались методом ЖФЭ при температуре 600 °C на подложках InAs (100) *n*- и *p*-типов проводимости с использованием In с чистотой 99.9999%. Концентрация носителей заряда в подложке составляла  $n = 1.2 \cdot 10^{16} \text{ см}^{-3}$ ,  $p = 5 \cdot 10^{16} \text{ см}^{-3}$  соответственно. Трудность выращивания четверных твердых растворов,  $\text{Ga}_{1-x}\text{In}_x\text{As}_y\text{Sb}_{1-y}$ , обогащенных (Ga, Sb), на подложке InAs связана с большой разницей в коэффициентах расширения решетки слоя и подложки в зависимости от температуры. Нам удалось преодолеть эту трудность. Морфология слоев в нашем случае была хорошей; согласование параметров решетки не превышало  $\Delta a/a \leq 2 \cdot 10^{-4}$ , как было установлено рентгеноструктурными исследованиями. Состав твердого раствора определялся с помощью количественного рентгеноспектрального анализа. Слои твердого раствора *n*-типа легировались Te в процессе выращивания до концентрации  $n = 9.7 \cdot 10^{16} \text{ см}^{-3}$ , слои *p*-типа легировались Zn ( $p = 3 \cdot 10^{17} \text{ см}^{-3}$ ) либо получались нелегированными. Толщины выращенных слоев были порядка 2 мкм. Ширина запрещенной зоны твердого раствора  $\text{Ga}_{0.83}\text{In}_{0.17}\text{As}_{0.22}\text{Sb}_{0.88}$  была определена из измерений спектров фотолюминесценции при  $T = 2$  и 77 К и составила величины  $E_g = 650$  мэВ ( $T = 2$  К) и 630 мэВ ( $T = 77$  К) соответственно. Полуширина спектра ФЛ была  $\Delta\varepsilon = 15$  мэВ ( $T = 2$  К), что свидетельствовало о хорошем качестве полученных структур (рис. 1).

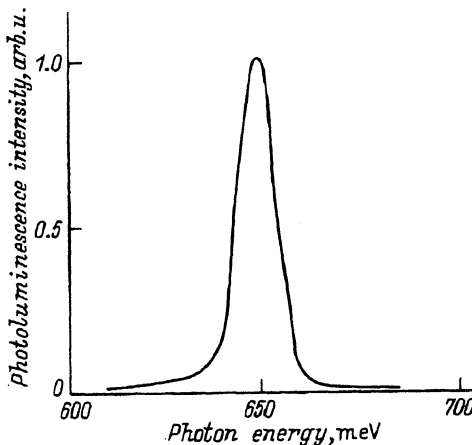


Рис. 1. Спектр фотолюминесценции твердого раствора  $\text{Ga}_{1-x}\text{In}_x\text{As}_y\text{Sb}_{1-y}$  ( $x = 0.17$ ,  $y = 0.22$ ) при  $T = 2 \text{ K}$ .  $E_g = 650 \text{ мэВ}$ ,  $\Delta\varepsilon = 15 \text{ мэВ}$ .

Нами были созданы и изучены 4 типа гетероструктур  $\text{GaInAsSb}/\text{InAs}$ :  $N-n$ -,  $P-p$ -,  $P-n$ - и  $N-p$ -переходы (заглавные буквы относятся к твердому раствору). Для исследования электрических, вольт-емкостных и фотоэлектрических характеристик из структур были изготовлены с помощью стандартной фотолитографии меза-диоды диаметром 300 мкм. Контакты к  $n$ - и  $p$ -слоям твердого раствора и подложке  $\text{InAs}$  были изготовлены напылением и вжиганием сплавов  $\text{Au}:\text{Te}$  и  $\text{Au}:\text{Zn}$  соответственно. При этом контакт на подложке был сплошным, на твердом растворе — точечным.

Спектральные характеристики гетероструктур исследовались с помощью монохроматора SPM-2 с призмой  $\text{LiF}$  и глобаром в качестве источника излучения. Для регистрации спектров применялась техника синхронного детектирования.

Измерения вольт-амперных (ВАХ) вольт-емкостных (ВЕХ) характеристик всех типов гетероструктур были выполнены при  $T = 77$  и 300 К. На рис. 2 и 3 представлены ВАХ и ВЕХ характеристики при температуре жидкого азота. Для  $N-n$ -,  $P-p$ - и  $N-p$ -структур ВАХ были выпрямляющими (рис. 2, a), а вольт-емкостные характеристики в области малых напряжений удовлетворительно описывались линейной зависимостью вида  $C^{-2} \sim f(V)$ , характерной для резких переходов (см., например, рис. 3, где представлена С-В-характеристика  $N-n$ -структуры). В то же время вольт-амперная характеристика структуры  $p\text{-GaInAsSb}/n\text{-InAs}$  носила омический характер в широком диапазоне токов (вплоть до 30 мА) в интервале температур 77–300 К (рис. 2, b). Такое необычное омическое поведение гетероперехода наблюдалось нами ранее на примере гетероструктуры  $p\text{-GaSb}/n\text{-GaInAsSb}$ , где узкозонный слой четверного раствора содержал 89% In ( $E_g = 0.26 \text{ эВ}$ ,  $T = 300 \text{ K}$ ) [12]. Это позволило сделать вывод о том, что такой гетеропереход II типа является разъединенным.

По отсечкам прямых ветвей ВАХ и вольт-емкостных характеристик (см. рис. 2, 3) были определены значения контактных разностей потенциала  $V_D$ , которые составили:  $V_D = 0.60 \text{ В}$  для  $N-n$ -,  $0.42 \text{ В}$  для  $P-p$ - и  $1.0 \text{ В}$  для  $N-p$ -гетеропереходов на основе  $\text{GaInAsSb}/\text{InAs}$  соответственно.

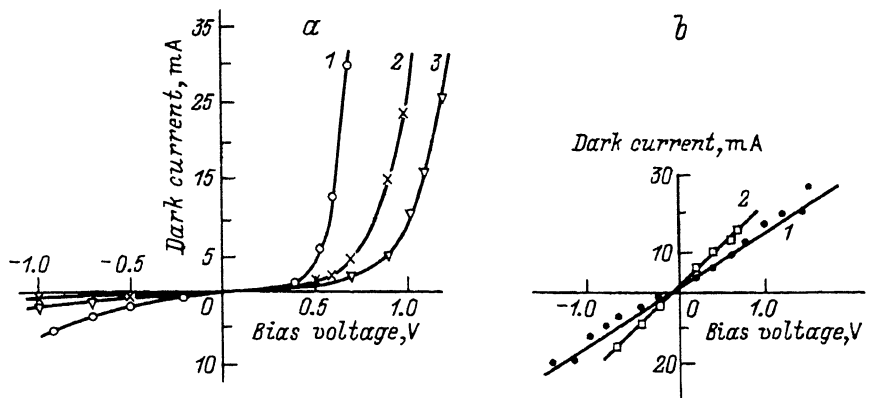


Рис. 2. Вольт-амперные характеристики четырех типов гетероструктур  $\text{Ga}_{1-x}\text{In}_x\text{As}_y\text{Sb}_{1-y}/\text{InAs}$  ( $x = 0.17$ ,  $y = 0.22$ ) при  $T = 77$  К: а) 1 —  $P$ - $p$ , 2 —  $N$ - $n$ , 3 —  $N$ - $p$ ; б) ВАХ гетероструктуры  $P\text{-GaInAsSb}/n\text{-InAs}$ : 1 — 77 К, 2 — 300 К.

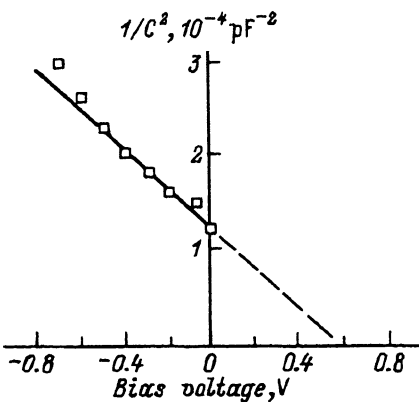


Рис. 3. Зависимость емкости гетероструктуры  $N\text{-Ga}_{0.83}\text{In}_{0.17}\text{As}_{0.22}\text{Sb}_{0.78}/n\text{-InAs}$  от напряжения смещения при  $T = 77$  К.

Были проведены исследования гальваномагнитных свойств (коэффициента Холла  $R_H$ , электропроводности  $\sigma$  и подвижности  $\mu$  в интервале температур 77–300 К) в твердых растворах GaInAsSb как нелегированных, так и легированных Te и Zn, выращенных на слабо легированных подложках  $p\text{-InAs:Zn}$  ( $p_{77} \cong 5 \cdot 10^{16} \text{ см}^{-3}$ ,  $\sigma_{77} \cong 0.01 \Omega^{-1} \text{ см}^{-1}$ ).

Наиболее поразительным фактом является аномально высокая подвижность носителей заряда, наблюдавшаяся нами в преднамеренно не легированных слоях твердых растворов GaInAsSb при  $T = 77$  К:  $\mu = 50000\text{--}70000 \text{ см}^2/\text{В} \cdot \text{с}$ . Заметим, что в твердых растворах GaInAsSb того же состава, но выращенных на подложках GaSb, нами были получены образцы  $p$ -типа с минимальной концентрацией дырок  $p \sim 5 \cdot 10^{15} \text{ см}^{-3}$  и подвижностью  $\mu_p^{77 \text{ K}} = 3000 \text{ см}^2/\text{В} \cdot \text{с}$ . По литературным данным подвижность электронов в таких твердых растворах должна быть порядка  $7000\text{--}10000 \text{ см}^2/\text{В} \cdot \text{с}$  [13]. По нашему мнению, столь высокое наблюдаемое значение подвижности, вероятно, связано с подвижностью электронов в одиночной гетероструктуре GaInAsSb/InAs и свидетельствует о наличии квазидвумерного электронного канала на гетерогранице между нелегированным слоем GaInAsSb и подлож-

кой  $p$ -InAs. Этот факт подтверждает также хорошее качество гетерограницы в исследованных структурах, полученных методом ЖФЭ. Отметим, что и в нелегированных образцах твердого раствора, и в образцах с примесью Te, введенного в раствор–расплав в количестве 0.001–0.01 мол%, или Zn, введенного в количестве до 0.01 мол%, подвижность, определяемая из гальваномагнитных измерений, остается высокой и определяется свойствами электронного канала. И лишь при более высоких уровнях легирования начинают проявляться свойства самого эпитаксиального слоя твердого раствора GaInAsSb.

## 2. Результаты и обсуждение

Величины скачков потенциала на границе раздела двух полупроводников  $\Delta E_c$ ,  $\Delta E_v$  являются важными параметрами гетероперехода, определяющими электронные свойства гетероструктур, а также характеристики приборов на их основе. В работе [14] был предложен метод расчета разрывов зон на гетерогранице для гетеропереходов на основе четверных твердых растворов  $A^{III}B^V$  и выведены соотношения для расчета относительного положения краев зоны проводимости  $E_c$  и валентной зоны  $E_v$ , ширины запрещенной зоны и величины спин-орбитального расщепления в зависимости от состава для ненапряженных и напряженных слоев методом интерполяции параметров бинарных и тройных соединений.

Мы провели расчет значений  $E_g$ ,  $\Delta_0$ , а также энергетического положения валентной зоны  $E_v$  и зоны проводимости  $E_c$  для исследуемых твердых растворов GaInAsSb ( $x = 0.17$ ) по [14] и определили значения  $\Delta E_c$  и  $\Delta E_v$  для гетероперехода GaInAsSb/InAs. Были получены следующие значения положения края валентной зоны и зоны проводимости, отсчитанные от уровня вакуума  $E_v = -6.34 \text{ эВ}$ ,  $E_c = -5.52 \text{ эВ}$ ,  $\Delta E_v = -0.42 \text{ эВ}$ ,  $\Delta E_c = -0.66 \text{ эВ}$ . Расчетные значения ширины запрещенной зоны и величины спин-орбитального расщепления для этого твердого раствора  $E_g = 0.602 \text{ эВ}$ ,  $\Delta_0 = 0.642 \text{ эВ}$  при  $T = 300 \text{ К}$ .

Отметим, что в [15] приведено более высокое расчетное значение отсечки в валентной зоне для гетероперехода GaInAsSb/InAs при содержании In в твердом растворе 17%  $\Delta E_v = 0.58 \text{ эВ}$ . Величина  $\Delta E_v = 0.42 \text{ эВ}$ , рассчитанная нами по [14], лучше согласуется с нашими экспериментальными данными, полученными из  $I-V$ - и  $C-V$ -характеристик. Учитывая значения  $E_g(\text{InAs}) = 0.36 \text{ эВ}$  при  $T = 300 \text{ К}$  и величины  $\Delta E_v = 0.42 \text{ эВ}$ , мы получили величину зазора между валентной зоной твердого раствора и зоной проводимости InAs  $\Delta \approx 60 \text{ мэВ}$ . С учетом омического поведения  $P-n$ -гетероструктуры исследуемый гетеропереход GaInAsSb/InAs можно считать разъединенным гетеропереходом II типа.

Мы построили приближенные зонные энергетические диаграммы четырех типов исследуемых гетеропереходов GaInAsSb/InAs:  $N-n$ ,  $P-p$ ,  $P-n$  и  $N-p$ . При этом были использованы найденные из эксперимента значения контактной разности потенциалов и уровни легирования слоев структуры, а также расчетные значения электронного сродства. Зонные диаграммы представлены на рис. 4. Как видно из рисунка, для всех выпрямляющих структур ( $P-p$ ,  $N-n$ , и  $N-p$ ) характерно наличие на гетерограницах больших областей пространственного заряда. Значительное перекрытие энергетических зон на

интерфейсе в структурах  $N-n$ -,  $P-p$ - и  $N-p$ -GaInAsSb/InAs приводит к истощению носителей заряда и, отсюда, к выпрямляющим характеристикам. Когда перекрытие исчезает, наблюдается накопление носителей по обе стороны перехода, что приводит к омическому (металлическому) поведению структуры, как это имеет место для структур  $P$ -GaInAsSb/ $n$ -InAs.

Для  $N-n$ -гетероперехода высота барьера по оценкам из отсечек по BEX и BAX близка к ширине запрещенной зоны твердого раствора GaInAsSb ( $E_g = 0.63$  эВ при  $T = 77$  К), а в случае  $P-p$ -структур — величине запрещенной зоны InAs (0.42 эВ при 77 К). Для структуры  $N$ -GaInAsSb/ $p$ -InAs наблюдалась аномально большая отсечка: контактная разность потенциалов была порядка  $V_D \sim 1$  В (как по  $I-V$ -, так и  $C-V$ -характеристикам), что близко к сумме энергий запрещенных зон двух материалов ( $E_{g\text{InAs}} + E_{g\text{GaInAsSb}} + \Delta \approx 1.1$  эВ при  $T = 77$  К). Плотность поверхностных состояний на гетерогранице  $N_{ss}$ , была низкой благодаря хорошему согласованию постоянных решетки двух материалов. Оценка, проведенная по соотношению  $N_{ss} = 8\Delta a/a^3$  на эВ, приведенному в [16], дает величину  $N_{ss} \sim 4.3 \cdot 10^{11} \text{ см}^{-2}$  при  $\Delta a/a = 2 \cdot 10^{-4}$ .

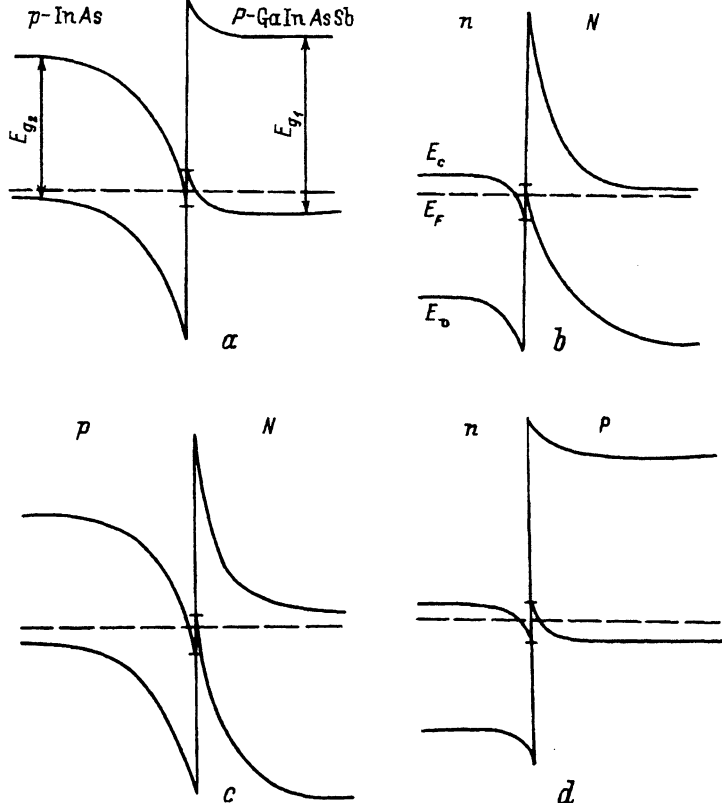


Рис. 4. Зонные энергетические диаграммы четырех типов исследованных гетеропереходов  $\text{Ga}_{1-x}\text{In}_x\text{As}_y\text{Sb}_{1-y}/\text{InAs}$  ( $x = 0.17$ ,  $y = 0.22$ ):  $a$  —  $P-p$ ,  $b$  —  $N-n$ ,  $c$  —  $N-p$ ,  $d$  —  $P-n$ .

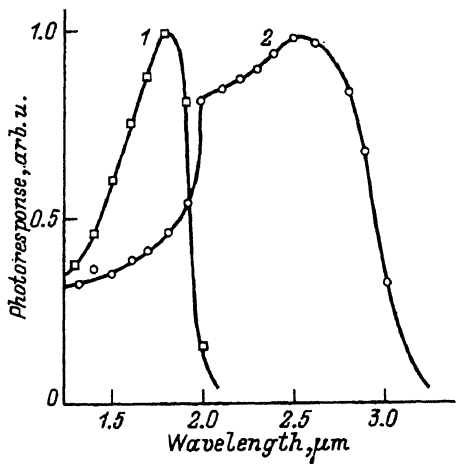


Рис. 5. Спектральное распределение фотоответа двух гетероструктур  $\text{Ga}_{0.83}\text{In}_{0.17}\text{As}_{0.22}\text{Sb}_{0.78}/\text{InAs}$  при  $T = 77 \text{ K}$ : 1 —  $N-n$ , 2 —  $P-p$ .

Характер приближенных зонных энергетических диаграмм, представленных на рис. 4, подтверждается также данными фотоэлектрических измерений. На рис. 5 представлены кривые спектрального распределения фоточувствительности для двух типов гетероструктур при  $T = 77 \text{ K}$  (1 — для  $N-n$ -структур, 2 — для  $P-p$ -структур). Как видно из рис. 5, красная граница фотоответа для  $P-p$ -структур определяется шириной запрещенной зоны узкозонного материала ( $\text{InAs}$ ,  $E_g = 0.42 \text{ эВ}$ ,  $T = 77 \text{ K}$ ). В то же время спектр фотоответа  $n-N$ -структуре лежит в более коротковолновой области и соответствует широкозонному твердому раствору  $\text{GaInAsSb}$ . В  $P-p$ -структуре значительная часть объемного заряда расположена в узкозонном материале, что определяется характером легирования слоев структуры. При освещении структуры со стороны  $\text{GaInAsSb}$  фотонами малых энергий проходят через широкозонный слой без поглощения, но интенсивно поглощаются в  $\text{InAs}$  вблизи гетерограницы, где разделяются электрическим полем и дают вклад в фотоответ. В изотипной  $N-n$ -структуре слой пространственного заряда расположен почти целиком в широкозонной области твердого раствора. На гетерогранице имеется высокий барьер, препятствующий эффективному разделению неравновесных носителей и их рекомбинации в  $\text{InAs}$ . В этом случае спектр фотоответа определяется главным образом поглощением в слое  $\text{GaInAsSb}$ . Из спектров фотоответа в интервале температур 77–300 К была также оценена температурная зависимость изменения ширины запрещенной зоны твердого раствора  $\text{GaInAsSb}$ , которая составила  $\Delta E_g / \Delta T = -3.8 \cdot 10^{-4} \text{ эВ/К}$ . Учитывая это значение, из эксперимента можно оценить значение ширины запрещенной зоны твердого раствора  $\text{GaInAsSb}$  при комнатной температуре  $E_g = 0.56 \text{ эВ}$ , что несколько ниже, чем рассчитанная по [14] ( $E_g = 0.602 \text{ эВ}$ ).

Вся совокупность полученных нами результатов, а также сходство наблюдаемых характеристик гетеропереходов  $\text{GaInAsSb}/\text{InAs}$  с экспериментальными данными, полученными нами ранее для узкозонных разъединенных гетеропереходов II типа на основе  $\text{GaInAsSb}/\text{GaSb}$  [8, 12], а также другими авторами для гетероструктур  $\text{InAsSb}/\text{GaAsSb}$  [17],  $\text{InAsSb}/\text{GaSb}$  [18], подтверждает наш вывод о том, что гетеропереход  $\text{GaInAsSb}/\text{InAs}$  является разъединенным.

В заключение отметим, что в разъединенном гетеропереходе в равновесии благодаря взаимному перераспределению носителей заряда из контактирующих материалов вблизи гетерограницы возникают близко расположенные квантовые ямы для электронов и дырок. В узкозонных материалах такие ямы могут быть достаточно глубокими и проявляться вплоть до температур  $T \geq 77$  К [8,12]. Приложение внешнего электрического поля к таким гетеропереходам позволяет управлять изгибами зон на гетерогранице и их относительным расположением, что приводит к изменению заселенности квантовых ям [19]. При этом легко создать как большую плотность электронов в двумерном канале, так и обеспечить сильное перекрытие волновых функций электронов и дырок. При определенных условиях это должно привести к возможности наблюдения излучательной рекомбинации пространственно разделенных носителей в разъединенных гетеропереходах II типа при приложении внешнего электрического поля.

Работа частично поддержана Международным научным фондом, грант № R46000.

### Список литературы

- [1] J.C. de Winter, M.A. Pollack, A.K. Srivastava, J. L. Zyskind. *J. Electron. Mater.*, **14**, 729 (1985).
- [2] А.Н. Баранов, Б.Е. Джуртанов, А.Н. Именков, А.А. Рогачев, Ю.М. Шерняков, Ю.П. Яковлев. *ФТП*, **20**, 2217 (1986).
- [3] Е.А. Бочкарев, Л.М. Долгинов, А.Е. Дракин, Л.В. Дружинина, П.Г. Елисеев, Б.Н. Свердлов, В.А. Скрипкин. *Квантовая электроника*, **16**, 1397 (1986).
- [4] И.А. Андреев, М.А. Афраилов, А.Н. Баранов, В.Г. Данильченко, М.П. Михайлова, Ю.П. Яковлев. *Письма ЖТФ*, **12**, 1311 (1986).
- [5] A.I. Nadezhinsky. *Proc. SPIE*, **1724**, 3 (1992).
- [6] M. Kavaya, *Laser Focus World*, **1**, 27 (1991).
- [7] R. Sarkaran, G.A. Antipas. *J. Cryst. Growth*, **36**, 198 (1976).
- [8] M.P. Mikhailova, A.N. Titkov. *Semicond. Sci. Techn.*, **9**, 1279 (1994).
- [9] M. Astles, M. Hill, D.J. Williams, P.J. Wrigth, M.L. Young. *J. Electron. Mater.*, **15**, 14 (1986).
- [10] X. Gong, H. Kan, T. Yamaguchi, I. Susuki, M. Aoyama, M. Kumagawa, N.L. Rowell, A. Wang, R. Rinfert. *Japan. J. Appl. Phys.*, **33**, 1740 (1994).
- [11] Л.М. Долгинов, Л.В. Дружинина, И.В. Крюкова, А.Н. Лапшин, В.И. Лескович, Е.В. Матвеенко, М.Г. Мильвидский. *Квантовая электрон.*, **8**, 66 (1978).
- [12] М.А. Афраилов, А.Н. Баранов, А.П. Дмитриев, М.П. Михайлова, Ю.П. Сморчкова, В.В. Шерстнев, И.Н. Тимченко, Ю.П. Яковлев, И.Н. Яссиневич. *ФТП*, **24**, 1397 (1990).
- [13] A.G. Milnes, A.Y. Polyakov. *Sol. St. Electron. B*, **36**, 803 (1992).
- [14] M.P.S. Krijn. *Semicond. Sci. Technol.*, **6**, 27 (1991).
- [15] G. Dohler. *Surf. Sci.*, **98**, 108 (1980).
- [16] M. Mebarki, D. Boukredimi. *J. Appl. Phys.*, **73**, 2360 (1993).
- [17] H. Sakaki, L.L. Chang, R. Iudeke, Chin Au Chang, G.A. Sai-Halldz, L. Esaki. *Appl. Phys. Lett.*, **31**, 211 (1977).
- [18] M. Mebarki, A. Kadri, H. Mani. *Sol. St. Commun.*, **72**, 795 (1989).
- [19] N. Nakao, S. Yoshida, S. Gonda. *Sol. St. Commun.*, **49**, 663 (1984).

Редактор В.В.Чалдышев

## Type II GaInAsSb/InAs heterojunctions

*M.P.Mikhailova, I.A.Andreev, T.I.Voronina, T.S.Lagunova, K.D.Moiseev,  
Yu.P.Yakovlev*

A.F.Ioffe Physicotechnical Institute, Russian Academy of Sciences, 194021 St.Petersburg,  
Russia

We present first investigation of the heterojunctions based on a quaternary  $\text{Ga}_{1-x}\text{In}_x\text{As}_y\text{Sb}_{1-y}$  ( $x = 0.17$ ;  $y = 0.22$ ) lattice-matched with InAs (100) substrates. Four type of GaInAsSb/InAs heterostructures ( $N-n$ ,  $P-p$  and  $P-n$  ones) were made and studied. Band-offsets  $\Delta E_c$ ,  $\Delta E_v$  were determined by using current-voltage and capacity-voltage characteristics of the heterojunctions and approximate energy band schemes were established. We found that  $\text{Ga}_{0.83}\text{In}_{0.17}\text{As}_{0.22}\text{Sb}_{0.78}/\text{InAs}$  heterojunction is a type II broken-gap one. A high electron mobility was first observed ( $\mu_n = 70\,000 \text{ cm}^2/\text{V} \cdot \text{s}$  at  $T = 77 \text{ K}$ ) in GaInAsSb/InAs single heterostructure by growing a un doped quaternary alloy on a low-doped  $p$ -InAs substrates.

---